# Propiedades fotométricas de las galaxias enanas de bajo brillo superficial en la zona central del grupo Pegasus I

N. González<sup>1,2</sup>, S. A. Cellone<sup>1,3,4</sup>, A. Smith Castelli<sup>1,2,3</sup>, F. Faifer<sup>1,2,3</sup>, C. Escudero<sup>1,2,3</sup>

- <sup>1</sup> Facultad de Ciencias Astronómicas y Geofísicas, UNLP, La Plata, Argentina.
- <sup>2</sup> Instituto de Astrofísica de La Plata (CCT La Plata, CONICET UNLP), La Plata, Argentina.
- <sup>3</sup> Consejo Nacional de Investigaciones Científicas y Técnicas, Argentina.
- <sup>4</sup> CASLEO, San Juan, Argentina.

Contacto / ngonzalez@fcaglp.unlp.edu.com.ar

**Resumen** / En este trabajo presentamos los resultados preliminares de un estudio fotométrico de objetos de bajo brillo superficial con  $\mu_{g'} \gtrsim 25 \text{ mag/arcsec}^2$ , presentes en varios campos obtenidos con GEMINI-GMOS en la región central del grupo de Pegasus I. Encontramos que sus características fotométricas resultan similares a las denominadas galaxias enanas esferoidales o de ultra bajo brillo superficial.

**Abstract** / Here we show the preliminary results of a photometric study of low surface brightness objects with  $\mu_{g'} \gtrsim 25 \text{ mag/arcsec}^2$ . These objects are present in several fields obtained with GEMINI-GMOS, in the central region of the Pegasus I group. We found that their photometric characteristics are similar to the so-called dwarf spheroidal galaxies or to the ultra low surface brightness galaxies.

Keywords / galaxies: dwarf — galaxies: photometry — galaxies: individual (NGC 7626)

#### 1. Introducción

A pesar de los numerosos estudios de galaxias de baja luminosidad en diversos medioambientes, aún no hay un consenso generalizado sobre su escenario de formación. Debido a esto, es de gran importancia la detección y análisis de dicho tipo de objetos. Se espera que tales estudios proporcionen condiciones de contorno a los modelos actuales sobre la formación y evolución de las galaxias, así como también a los de formación de la estructura a gran escala del Universo. En este contexto, presentamos el estudio fotométrico de la población de galaxias de tipo temprano y de bajo brillo superficial (LSB) en el grupo Pegasus I.

Pegasus I es un pequeño grupo de galaxias, localizado a una distancia de 50 Mpc (Tonry et al., 2001), y dominado por dos galaxias elípticas masivas: NGC 7626 y NGC 7619. Este grupo representa un ambiente de especial interés porque los estudios de la emisión en rayos-X del gas caliente intragrupo indican que Pegasus I constituye la fusión en desarrollo de los dos subgrupos asociados a cada galaxia dominante (Randall et al., 2009).

A pesar de que Pegasus I fue estudiado ampliamente en cuanto a su población de galaxias tardías (p.ej. Levy et al., 2007; Morelli et al., 2008), su población de galaxias de tipo temprano se encuentra prácticamente inexplorada.

En este contexto, Pegasus I representa un excelente medioambiente para el estudio de galaxias LSB y de los procesos que se cree juegan un papel en su formación y evolución. En este trabajo mostramos los resultados preliminares del estudio fotométrico (magnitudes integradas, colores, ajustes de perfiles,  $\langle \mu_{\rm eff} \rangle$ , etc.) de ocho candidatas a galaxias de tipo temprano y LSB con

 $\mu_{g'} \gtrsim 25 \text{ mag/arcsec}^2$ , presentes en cinco campos de los alrededores de las galaxias NGC 7626 y NGC 7619.

#### 2. Datos fotométricos

Este trabajo está basado en cinco campos profundos tomados en los filtros g', r' e i' (Fukugita et al., 1996), empleando la cámara GMOS de Gemini Norte (Programa GN-2008B-Q-14, PI: F. Faifer; Programa GN-2012A-Q-55, PI: A. Smith Castelli; Programa GN-2014B-Q-17, PI: F. Faifer; Programa GN-2015B-Q-13, PI: N. González). Estas imágenes cubren el entorno inmediato a NGC 7626 y NCG 7619, y se utilizaron para obtener los parámetros fotométricos de ocho candidatas a galaxias LSB. La Fig. 1 muestra la orientación de los diferentes campos analizados y la ubicación de estos objetos. Por su parte, en el panel superior izquierdo de la Fig. 2 , se muestra la imagen de una de las candidatas a galaxia LSB en el filtro r'.

Dado que no se cuenta con datos espectroscópicos de las candidatas a galaxias LSB, la identificación de las mismas se realizó a partir de una inspección visual en las imágenes GEMINI-GMOS. Para ello, utilizando las tareas ellipse y bmodel de IRAF, primero se procedió a modelar las distribuciones de brillo superficial de las galaxias elípticas NGC 7626 y NGC 7619 y sus respectivos halos, incluyendo varios objetos extendidos. Luego, se restaron dichos modelos con el fin de poder identificar y medir los perfiles de brillo de las candidatas a galaxias LSB. Suponiendo que las mismas están a la distancia de NGC 7626, y adoptando el módulo de distancia  $m-M=33.67\,\mathrm{mag}$  (Cantiello et al., 2007), se obtuvieron sus magnitudes y colores integrados, con

1

Presentación oral

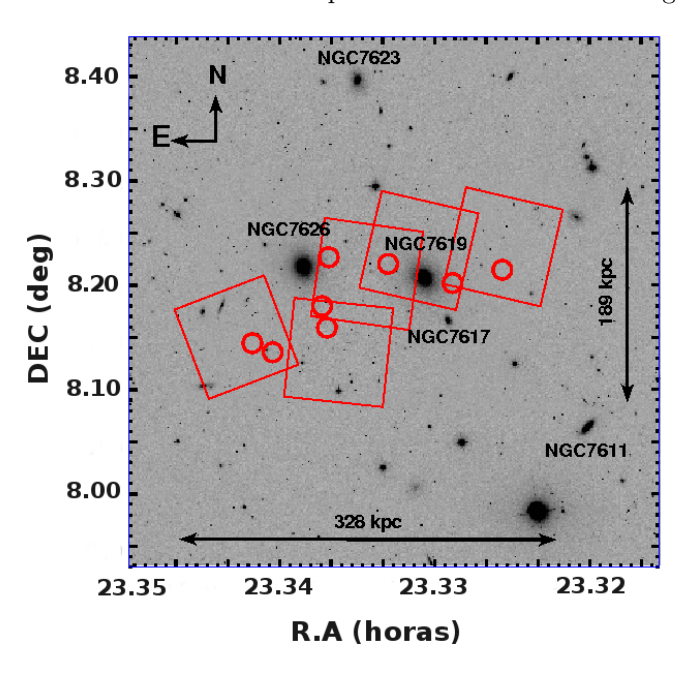


Figura 1: Mosaico de  $30.5 \times 30.5$  arcmin en el filtro r' de SDSS DR12 mostrando la región central del grupo de Pegasus I. Los marcos rojos corresponden a los campos de GEMINI-GMOS. Los circulos rojos indican la ubicación de las candidatas LSB.

los que se construyeron los diagramas color-magnitud (DCM) y  $\langle \mu_{\rm eff} \rangle$ -luminosidad.

En la Fig. 2 se presentan, en los paneles inferiores, los perfiles de brillo superficial en los filtros g', r' e i' de una de las galaxias LSB analizadas. En este caso, se puede observar el bajo brillo superficial que presenta dicho objeto.

Se realizaron ajustes de Sérsic (Sérsic, 1968) en los filtros mencionados, obteniendo los valores de los índices n para todas las candidatas. Dicho ajuste está dado por:

$$\mu(r) = \mu_0 + 1.0857 \left(\frac{R}{R_0}\right)^{\frac{1}{n}}.$$
 (1)

donde  $\mu_0$  es el brillo superficial central y  $R_0$  es un parámetro de escala.

### 3. Resultados preliminares

Con el objetivo de obtener una clasificación morfológica y de pertenencia de las candidatas a galaxias LSB al grupo de Pegasus I, comparamos con diferentes muestras de tipo temprano reportadas en varios trabajos.

La Fig. 3 muestra la relación entre el brillo superficial efectivo y la luminosidad en el filtro g'. Podemos observar, en el extremo brillante, una muestra de galaxias de tipo temprano en el cúmulo de Virgo (Smith Castelli et al., 2013). Estas galaxias tienden a ubicarse en el rango de radio efectivo  $0.5 < R_{\rm eff} < 2.0$  kpc. Sin embargo, las galaxias enanas pertenecientes al Grupo Local (LG) tienden a ubicarse en una zona de radios efectivos más pequeños (McCon-

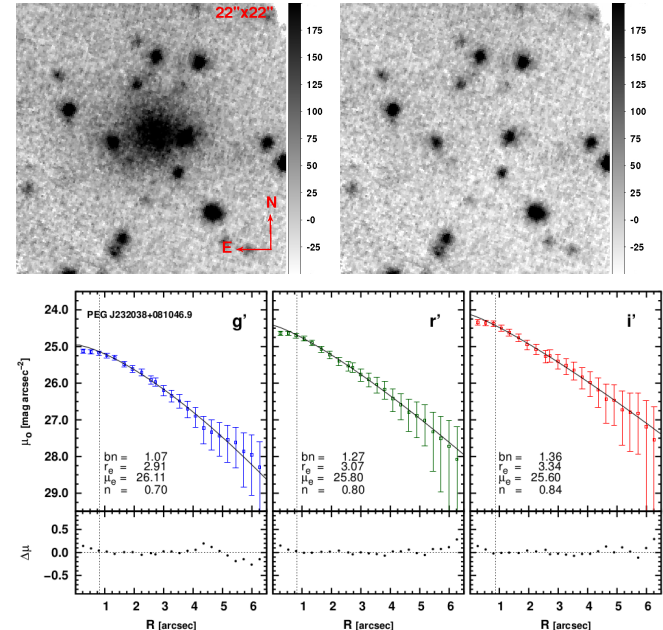


Figura 2: Paneles superiores: imagen de una de las galaxias LSB de la muestra en el filtro r' de GEMINI-GMOS; imagen residual en el filtro r' obtenida de la resta del modelo creado por ellipse y bmodel. Paneles inferiores: ajustes de la ley Sérsic a los perfiles de brillo g', r' e i' de la galaxia. Los residuos  $\Delta \mu = \mu$  (obs)  $-\mu$  (fit) se muestran en el panel inferior. Las líneas verticales punteadas indican la región interna de los perfiles excluidos para realizar los ajustes que se corresponden al seeing de las imágenes. Todos los perfiles están corregidos por extinción y enrojecimiento.

nachie, 2012). Por otro lado, las galaxias ultra difusas (UDGs, van Dokkum et al., 2015) y LSB (Smith Castelli et al., 2016) detectadas fuera del LG muestran radios efectivos más grandes.

A partir de esto, podemos decir que parece existir una distinción en los tamaños: los objetos en grupos y cúmulos cercanos tienden a ser más pequeños que los reportados en entornos más distantes. En consecuencia, analizamos las candidatas a galaxias LSB de nuestra muestra, que presentan similitudes con las denominadas galaxias enanas esferoidales (dSph) y las UDGs.

En la Fig. 4 se presenta el DCM de los resultados para las galaxias de tipo de temprano obtenidos por (Chen et al., 2010) y otros trabajos que reportan galaxias LSB. Se destaca la clara relación para las galaxias de tipo temprano del cúmulo de Virgo, y se puede observar que algunas galaxias LSB siguen dicha relación, aunque algunas otras se apartan tanto hacia colores más rojos como más azules. Por lo tanto, en términos de colores, las galaxias LSB no parecen ser una clase homogénea de objetos.

En la Fig. 5 se presenta la relación entre el parámetro de Sérsic n contra la magnitud absoluta en el filtro g', donde vemos que existe una relación entre n y  $M_{g'}$ . Dicha relación está de acuerdo con lo encontrado por distintos autores, entre ellos los trabajos de **Cellone et al.** (1994) y Buzzoni et al. (2012) que establecen que el índice de Sérsic debe ser  $n \lesssim 1$  para galaxias LSB.

2 BAAA, 58, 2016

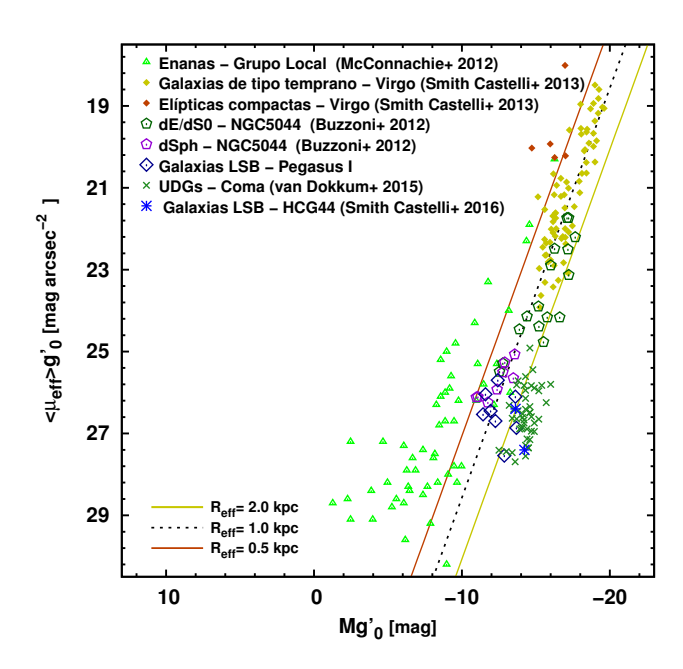


Figura 3: Diagrama  $\langle \mu_{\rm eff} \rangle$ -luminosidad de las galaxias de tipo temprano en la región central del cúmulo de Virgo (Smith Castelli et al., 2013), mostrando la ubicación de las galaxias LSB presentadas en este trabajo, suponiendo que están a la distancia de NGC 7626. Incluimos diferentes muestras de dSph y galaxias ultra-difusas reportadas en los trabajos de Buzzoni et al. (2012), McConnachie (2012), van Dokkum et al. (2015) y Smith Castelli et al. (2016).

## Trabajo a futuro

En lo inmediato, serán incorporados más datos similares a los de las candidatas a galaxias LSB de Pegasus I reportados en la literatura en otros medioambientes, completando así el análisis detallado de estos objetos presentado en Smith Castelli et al. (en preparación 2018).

En esta dirección, como trabajo a futuro extenderemos el mismo análisis a las candidatas a enanas típicas ya localizadas en los campos observados del grupo de Pagasus I. Asimismo, realizaremos un trabajo similar en cuatro campos observados del supergrupo de Eridanus. Resulta interesante realizar un estudio comparativo de ambos grupos de galaxias de baja luminosidad.

#### Referencias

Buzzoni A., et al., 2012, MNRAS, 420, 3427
Cantiello M., et al., 2007, ApJ, 668, 130
Cellone S. A., Forte J. C., Geisler D., 1994, ApJS, 93, 397
Chen C.-W., et al., 2010, ApJS, 191, 1
Fukugita M., et al., 1996, AJ, 111, 1748
Levy L., et al., 2007, AJ, 133, 1104
Makarov D. I., et al., 2015, A&A, 581, A82
McConnachie A. W., 2012, AJ, 144, 4
Morelli L., et al., 2008, MNRAS, 389, 341
Müller O., Jerjen H., Binggeli B., 2015, A&A, 583, A79
Randall S. W., et al., 2009, ApJ, 696, 1431
Román J., Trujillo I., 2017a, MNRAS, 468, 703
Román J., Trujillo I., 2017b, MNRAS, 468, 4039
Sérsic J. L., 1968, Atlas de Galaxias Australes

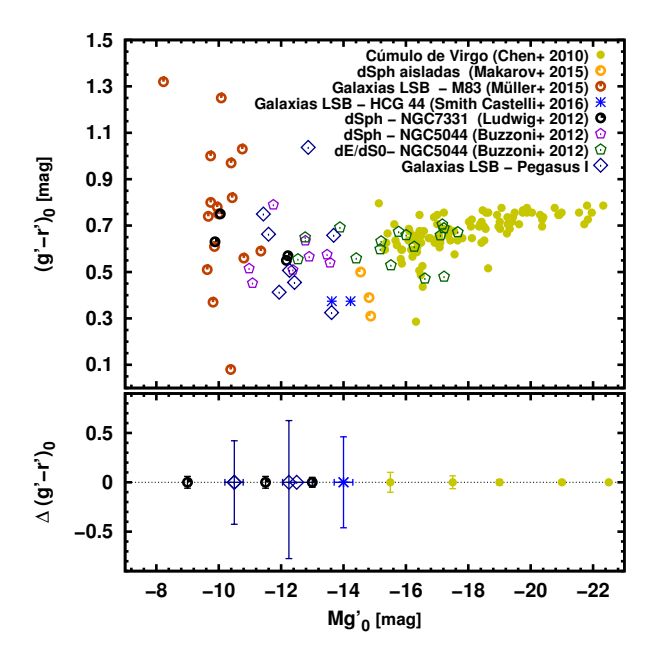


Figura 4: DCM de las galaxias de tipo temprano en la región central del cúmulo de Virgo (Chen et al., 2010), mostrando la ubicación de las galaxias LSB presentadas en este trabajo adoptando que están a la distancia de NGC 7626. Incluimos diferentes muestras de dSph y galaxias ultra-difusas reportadas en la literatura (Buzzoni et al., 2012), (Makarov et al., 2015), (Müller et al., 2015) y (Smith Castelli et al., 2016). En el panel inferior se muestran los errores medios  $\Delta(g'-r')_0$ , tomados en rangos de  $\Delta$  M $_{g'}=1$  mag.

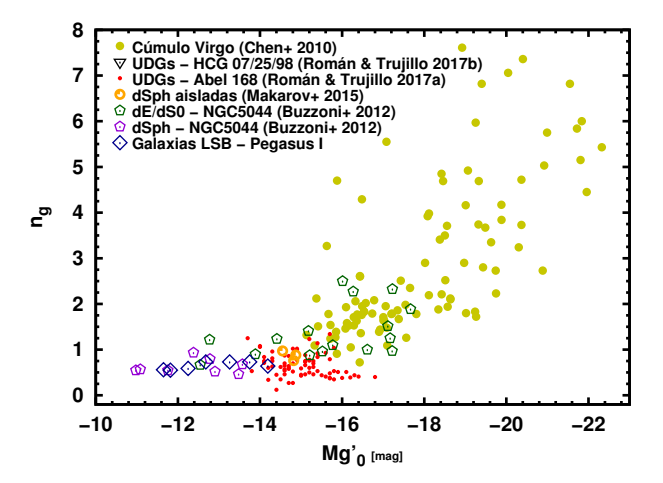


Figura 5: Relación entre el parámetro de Sérsic n contra la magnitud absoluta en el filtro g' para nuestras candidatas LSB (rombos azules) adoptando que están a la distancia de NGC 7626. Incluimos diferentes muestras de galaxias de tipo temprano reportadas en los trabajos de Chen et al. (2010), Buzzoni et al. (2012), Makarov et al. (2015), Román & Trujillo (2017a) y Román & Trujillo (2017b).

Smith Castelli A. V., et al., 2013, ApJ, 772, 68
Smith Castelli A. V., Faifer F. R., Escudero C. G., 2016, A&A, 596, A23
Tonry J. L., et al., 2001, ApJ, 546, 681
van Dokkum P. G., et al., 2015, ApJL, 798, L45

BAAA, 58, 2016